

## ANÁLISE DE PRECISÃO DE MÉTODOS NUMÉRICOS DE INVERSÃO DA TRANSFORMADA DE LAPLACE APLICANDO EM UM PVIC

**CÁSSIO FEHLBERG LEMOS<sup>1</sup>; LESLIE D. PÉREZ-FERNÁNDEZ<sup>2</sup>; CAMILA PINTO DA COSTA<sup>3</sup>**

<sup>1</sup>Universidade Federal de Pelotas – [cflemos@inf.ufpel.edu.br](mailto:cflemos@inf.ufpel.edu.br)

<sup>2</sup>Universidade Federal de Pelotas – [leslie.fernandez@ufpel.edu.br](mailto:leslie.fernandez@ufpel.edu.br)

<sup>3</sup>Universidade Federal de Pelotas – [camila.costa@ufpel.edu.br](mailto:camila.costa@ufpel.edu.br)

### 1. INTRODUÇÃO

Ao trabalhar com equações diferenciais, a transformada de Laplace pode ser uma poderosa aliada. Através dela é possível modificar equações diferenciais parciais em equações diferenciais ordinárias (EDOs) e EDOs em equações algébricas. Sua definição, para uma função  $f(t)$ , é dada por  $F(s) = \mathcal{L}\{f(t)\} = \int_0^\infty f(t)e^{-st}dt$ , onde  $t > 0$  e  $s$  é um número real ou complexo. A inversão desta operação é definida pela integral de Bromwich  $f(t) = \frac{1}{2\pi i} \int_{y-i\infty}^{y+i\infty} e^{st} F(s) ds$  e é, em geral, muito difícil de realizar diretamente (TONIDANDEL; DE ARAÚJO, 2012). Alternativamente, para calcular essa inversão, podemos contar os com métodos numéricos (ver Tabela 1).

Tabela 1. Alguns métodos numéricos de inversão da transformada de Laplace

Método	Fórmula
Talbot Fixo	$f(t, M) = \frac{r}{M} \left\{ \frac{1}{2} F(r) e^{rt} + \sum_{k=1}^{M-1} \operatorname{Re} \left[ e^{ts(\theta_k)} F(s(\theta_k)) (1 + i\sigma(\theta_k)) \right] \right\}$ (ABATE; VALKÓ, 2004)
Dubner-Abate	$f(t, T) = \frac{2e^{at}}{T} \left[ \frac{1}{2} \operatorname{Re}\{F(a)\} + \sum_{k=1}^{NSUM} \operatorname{Re}\{F(\alpha)\} \cos(\theta) \right]$ (DUBNER; ABATE, 1968)
Durbin	$f(t, T) = \frac{e^{at}}{T} \left[ -\frac{1}{2} \operatorname{Re}\{F(a)\} + \sum_{k=0}^{NSUM} \operatorname{Re}\{F(\alpha)\} \cos(\theta) - \operatorname{Im}\{F(\alpha)\} \sin(\theta) \right]$ (DURBIN, 1974)
Gaver-Stehfest	$f(t, N) = \frac{\ln 2}{t} \sum_{i=1}^N V_i F\left(\frac{\ln 2}{t} i\right)$ (TOMASCHEWSKI, 2012)
Euler	$f(t, m) = \sum_{j=0}^m \binom{m}{j} 2^{-m} s_{n+j}(t)$ (ABATE; WHITT, 1995)

Em um trabalho anterior (LEMOS et al., 2021), apresentamos experimentos numéricos que mostraram que, dentre os métodos na Tabela 1, e para as funções-teste estudadas, o método Talbot-Fixo produz os melhores resultados em precisão e também apresentou um bom desempenho em relação a tempo de execução. Ainda em LEMOS et al. (2021), aplicamos o método de Talbot Fixo na resolução de um problema de valores iniciais e de contorno (PVIC) que modela a distribuição de temperatura em uma barra homogênea em comparação com sua solução exata.

O objetivo do presente trabalho é aferir a precisão dos outros métodos na Tabela 1 no mesmo problema de distribuição de temperatura na barra, assim como foi visto para o Talbot Fixo.

## 2. METODOLOGIA

Considere o seguinte PVIC que modela a difusão do calor em uma barra homogênea com difusividade térmica  $k^2$  e comprimento unitário, em que a temperatura  $u(t, x)$  é nula nas extremidades e está inicialmente distribuída senoidalmente:

$$\begin{cases} u_t = k^2 u_{xx}, & 0 < x < 1, t > 0, \\ u(t, 0) = u(t, 1) = 0, & t > 0, \\ u(0, x) = \operatorname{sen}(\pi x), & 0 < x < 1. \end{cases}$$

Através da aplicação da transformada de Laplace no PVIC e da resolução do PVC para a EDO resultante, é obtida a seguinte solução no espaço de Laplace:

$$U(s, x) = \frac{\operatorname{sen}(\pi x)}{k^2 \pi^2 + s},$$

em que  $U(s, x) = \mathcal{L}\{u(t, x)\}$ . Logo, aplicando a transformada de Laplace inversa analiticamente a  $U(s, x)$ , obtém-se a solução  $u(t, x)$  do PVIC dada por (FERREIRA, 2019):

$$u(t, x) = \operatorname{sen}(\pi x) e^{-k^2 \pi^2 t}.$$

Para analisar a precisão dos métodos numéricos, iremos inverter  $U(s, x)$  com eles e comparar com o resultado obtido através de  $u(t, x)$  utilizando do erro máximo absoluto entre eles. Os cálculos serão realizados através de códigos implementados por mim no scilab 6.0.2 (BAUDIN, 2011) com um processador Intel(R) Core(TM) i5-10300H e com 8GB de memória RAM.

## 3. RESULTADOS E DISCUSSÃO

Na Figura 1 apresentamos os gráficos para  $0 \leq x \leq 1$  e  $0 < t \leq 10$  da solução exata  $u(t, x)$  (a), e suas aproximações obtidas das inversões numéricas de  $U(s, x)$  pelos métodos de Talbot Fixo (b), Dubner-Abate (c), Durbin (d), Gaver-Stehfest (e) e Euler (f). Aqui já é possível notar que o método numérico Durbin foi o que mais se distanciou da função exata, enquanto os demais apresentaram gráficos semelhantes.

Para uma melhor discussão dos resultados foi gerada uma tabela com o erro máximo absoluto para cada um dos métodos utilizados. Isso pode ser observado na Tabela 2.

Tabela 2. Erro máximo absoluto dos algoritmos da Tabela 1

Talbot Fixo	Dubner-Abate	Durbin	Gaver-Stehfest	Euler
2,42E-04	1,00E-02	5,035E-01	3,8E-06	6,076E-09

De acordo com a tabela 2, é possível perceber que os melhores desempenhos foram obtidos por Euler, Gaver-Stehfest e Talbot Fixo, respectivamente. Dubner-Abate e Durbin não tiveram uma boa precisão, tendo um erro máximo absoluto mais elevado que os demais métodos.

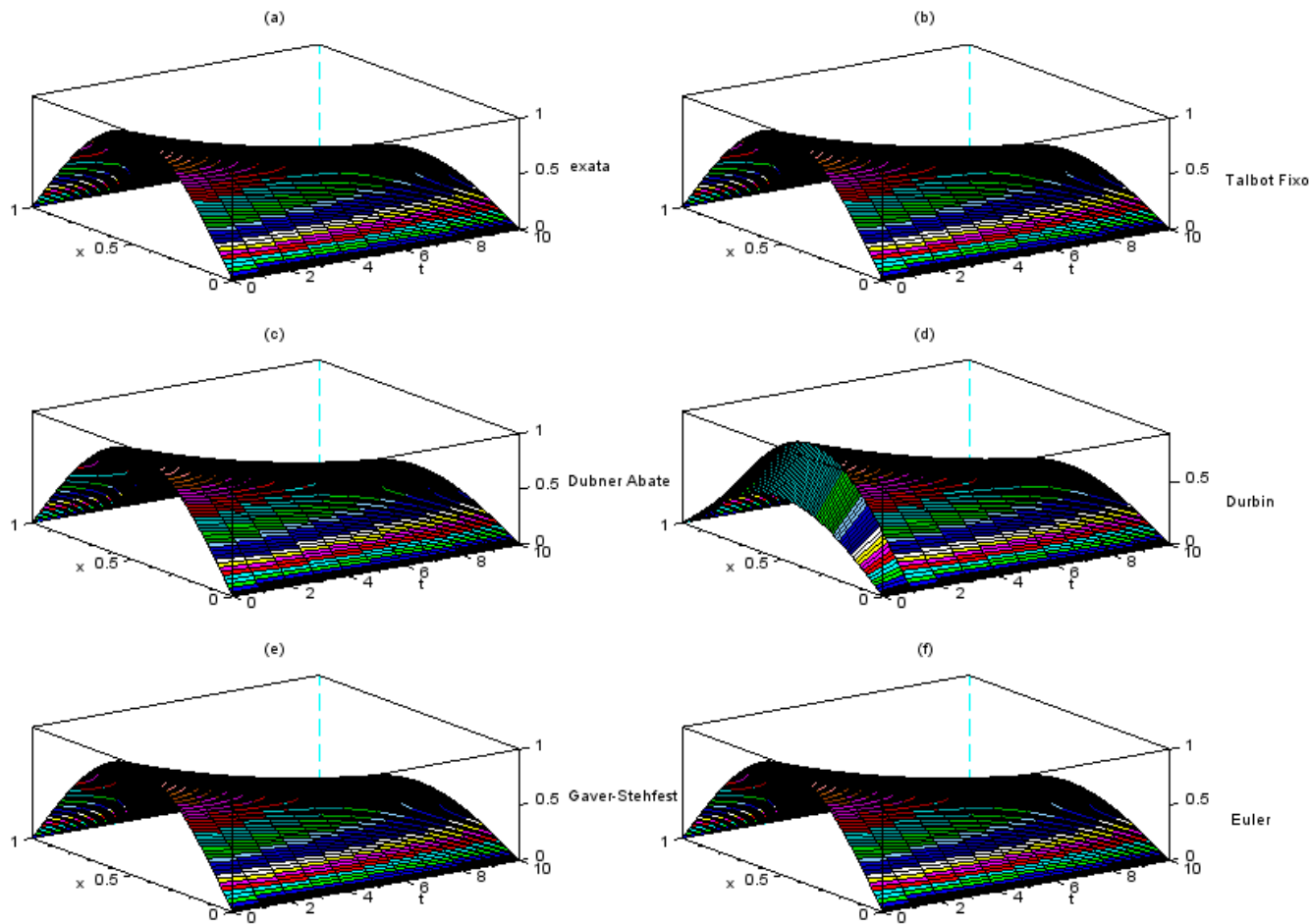


Figura 1. Comparação entre a solução exata e suas aproximações pelos métodos numéricos de inversão da Tabela 1.

#### 4. CONCLUSÕES

Diferentemente do nosso trabalho anterior (LEMOS et al., 2021), onde Talbot Fixo demonstrou melhor desempenho com todas as funções-teste, o mesmo não acontece aqui. Ao analisarmos a inversão com métodos numéricos para a equação de distribuição de temperatura em uma barra, podemos verificar que quem apresentou os melhores resultados foi Euler, seguido por Gaver-Stehfest e Talbot Fixo. Interessante notar que mesmo o Talbot Fixo apresentando os melhores resultados com as funções testes no trabalho mencionado anteriormente, o método numérico de Euler já havia destacado lá e mostrado um ótimo desempenho. Com isso podemos concluir que mesmo não tendo o melhor desempenho entre os métodos analisados, Talbot Fixo continua sendo um método numérico de inversão confiável, e que, dentre os métodos numéricos de inversão estudados, Euler é o mais preciso quando trabalhando com distribuição de temperatura em uma barra.

#### AGRADECIMENTOS

Agradeço a FAPERGS pelo fomento à pesquisa.

## 5. REFERÊNCIAS BIBLIOGRÁFICAS

- ABATE, J.; VALKÓ, P. P. Multi-precision Laplace transform inversion. **INTERNATIONAL JOURNAL FOR NUMERICAL METHODS IN ENGINEERING**, Hoboken, v. 60, n. 5, p. 979-993, 2004.
- ABATE, J.; WHITT, W. Numerical Inversion of Laplace Transforms of Probability Distributions. **ORSA Journal on Computing**, Catonsville, v. 7, n. 1, p. 36-43, 1995.
- BAUDIN, M. **Programming in Scilab**. set. 2011. Acessado em 13 set. 2020. Disponível em: [https://www.scilab.org/sites/default/files/progscilab-v.0.10\\_en.pdf](https://www.scilab.org/sites/default/files/progscilab-v.0.10_en.pdf)
- DUBNER, H.; ABATE, J. Numerical Inversion of Laplace Transforms by Relating Them to the Finite Fourier Cosine Transform. **Journal of the ACM**, New York, v. 15, n.1, p. 115-123, 1968.
- DURBIN, F. Numerical inversion of Laplace transforms: an efficient improvement to Dubner and Abate's method. **The Computer Journal**, Oxford, v. 17, n. 4, p. 371-376, 1974.
- FERREIRA, A. M. **HOMOGENEIZAÇÃO ASSINTÓTICA COM TRANSFORMADA DE LAPLACE NA MODELAGEM DE MEIOS MICROPERIÓDICOS**. 2019. Dissertação (Mestrado em Modelagem Matemática) - Programa de Pós-Graduação em Modelagem Matemática da Universidade Federal de Pelotas.
- HSU, J.T.; DRANOFF, J.S. Numerical inversion of certain laplace transforms by the direct application of fast fourier transform (FFT) algorithm. **Computers & Chemical Engineering**, Texas A&M University College Station, College Station, Texas, United States, v. 11, n. 2, p. 101-110, 1987.
- KUZNETSOV A. On the Convergence of the Gaver-Stehfest Algorithm, **SIAM Journal on Numerical Analysis**, Philadelphia, vol. 51, no. 6, pp. 2984–2998, 2013.
- LEMOS, C. F. ; COSTA, C. P. DA; PÉREZ-FERNÁNDEZ, L. D.; FERREIRA, A. M.; SILVA, E. C. Análise do Desempenho de Métodos Numéricos de Inversão da Transformada de Laplace. **Intermaths**, Vitória da conquista, Bahia, v.2, n.2, p. 75 - 90, 2021.
- TOMASCHEWSKI, F. K. **Solução da Equação  $S_N$  Multigrupo de Transporte Dependente do Tempo em Meio Heterogêneo**. 2012. 75f. Dissertação (Mestrado em Matemática Aplicada) - Programa de Pós-Graduação em Matemática Aplicada, Universidade Federal do Rio Grande do Sul.
- TONIDANDEL, D. A. V.; DE ARAÚJO A. E. A. Transformada de Laplace: uma obra de engenharia. **Revista Brasileira de Ensino de Física**, São Paulo, v. 34, n. 2, p. 1-6, 2012.
- ZANGA W. **Stable numerical Laplace Transform inversion technique without over-and undershoot**. 2018. Master's thesis, Computing Science, Imperial College London.